

# 木材細胞壁의 MICRO FIBRIL 傾斜角에 關한 研究(1)<sup>\*1</sup> - 樹幹內 MICRO FIBRIL 傾斜角의 變異 -

全 毒 京<sup>\*2</sup> 李 元 用<sup>\*2</sup>

## Studies on Micro Fibril Angle of Woody Plant Cell Wall(1)<sup>\*1</sup> - Variation of Micro Fibril Angle on Tree Stem -

Su Kyung Chun<sup>\*2</sup> Won Yong Lee<sup>\*2</sup>

### Summary

This paper aims at gaining the imformations about the fibril angle at secondary walls of tracheids.

The test specimens were taken from disks on stem wood of "Pinus koraiensis Sieb. et zucc."

The method of measuring the fibirl angle was selected so-called "iodine method" that crystalline aggregates of iodine may be induced to form within the elongated interstices of the cellulose matrix of the secondary wall and that these elongated crystals are oriented parallel to the long axies of the fibrils of cellulose.

The following conclusions may be drawn from the results of this investigation.

- 1) Gross average fibril angle was about  $17.6^{\circ}$  on stem wood.
- 2) Its values seem to be greater for earlywood (avg. $19.8^{\circ}$ ) than for latewood tracheids (avg. $15.3^{\circ}$ ) in normal wood.
- 3) According to the increase of annual ring from pith to barks the orientation of fibril angle seems to be decrease gradually in normal wood.
- 4) In the case of height variation in trees the sample trees have a tendency to increase the orientation fibril angle to the increase of tree height in stem.

### I. 緒 言

木材는 仮導管이나 木纖維 等의 各種 細胞로 構成된 集合體이며 그 細胞가 形態를 維持하고 있는 것은 細胞壁이 있기 때문이다. 그런데 이와같이 木材의 細胞壁은 發生學的인 面으로 보아 一般的으로 두 개의 다른 構造로 形成되어 있는 것으로 생각되고 있다. 即, 하나는 一次壁으로서 細胞의 表面生長의 期間에 形成된 것이며, 다른 하나는 2次壁으로서 表面生長이 終了된 後에 付加生長에 依하여 形成된 細胞壁의 主體를 이루고 있는 部分이다.

이러한 細胞壁을 構成하고 있는 化學的 成分은 主로 主要成分인 Cellulose, Hemicellulose, Lignin 으로 構成되어 있으며, 이들 主要成分을 木材 細胞壁의 形態學的인 構成의 觀點에서 보면 Cellulose

는 骨格物質(framework substance), Hemicellulose 는 間充物質(matrix-substance), Lignin은 充填物質(incrusting substance)로 譬喻할 수 있을 것이다.

그런데 이러한 木材의 細胞壁 即, 鈎葉樹材의 仮導管이나 濶葉樹材의 木纖維와 같은 細胞壁의 橫斷切片을 偏光顯微鏡의 十字nichol 下에서 觀察하면 細胞壁은 明暗의 差異에 依하여 3개의 部分으로 分割할 수가 있게 된다. Kerr<sup>26</sup>에 依하면 이와같은 事實은 2次壁中에서 細胞軸에 對하여 micro fibril 的 配列을 달리하는 層이 存在하기 때문이며, 이들의 3層을 外側으로 부터 外層(out layer, S<sub>1</sub>), 中層(middle layer, S<sub>2</sub>) 및 内層(inner layer, S<sub>3</sub>)이라 말하고 있다.

이와같은 2次壁의 3層의 micro fibril의 配列

\*1 Received for publication on Dec. 10, 1982

\*2 江原大学校 林科大学, College of Forestry, Gangwon National University

이 関하여는 많은 研究가 있으나 오늘날 많은 支持를 얻고 있는 wardrop<sup>27</sup>의 model에 依하면  $S_1$ 은 micro fibril이 S Helix와 Z Helix로 配列하는 交差構造를 이루고 있으며,  $S_2$ 에서는 micro fibril은 細胞의 長軸에 對하여 거의 平行에 가까운 steep helix로 配列되어 있고,  $S_3$ 의 micro fibril은 細胞軸에 對하여 直角에 가까운 flat helix로 配列되어 있으나 그 micro fibril의 平行度는  $S_1, S_2$ 에 比較하여多少 散乱되어 있다고 말하고 있다. 最近에는 電子顯微鏡의 出現에 依하여 negative染色한 超薄切片이나, 脱 lignin 处理 또는, 脱多糖類處理한 超薄切片의 写真으로 micro fibril의 配列의 差異에 依한 木材細胞壁의 壁層構成을 直接 確認 하자 되었다.

이와같은 micro fibril은 木材細胞壁中의 骨格物質인 cellulose 分子의 集合體이므로 이들의 配列은 木材의 物理的 化學的 性質이나 기타 木材를 合理的으로 利用하는데 매우 重要한役割을 하는 것으로 생각되고 있다.

이와같은 見地에서 本研究에서는 우리나라의 固有樹種이며, 經濟的樹種이고 造林樹種의 하나인 竹나무(*Pinus koraiensis*) 造林木에 對하여 現今에도 많이 使用되고 있는 耗法으로 正常材 樹幹内에 서의 micro fibril의 配列의 變異에 関하여 研究検討하였다.

## 2. 材料 및 方法

### 2.1 供試樹種과 試片

本研究에 使用된 供試木은 本大學校 演習林에서 生育한, 生長이 比較的 優秀한 竹나무(*Pinus koraiensis*)로서 樹高 18m, 胸高直徑 34cm, 樹令 50年生되는 立木이었다. 이 立木을 1981年 5月 21日伐採한 다음 樹幹의 外形的 特徵을 調査하고 地上高 1.2m, 4.2m, 7.2m, 10.2m, 12.2m 높이의 各部位에서 두께 3cm의 圓板을 採取하였다. 다시 各部位에서 採取된 圓板을 깨끗하게 鉈削하고 幅 1.5cm 程皮의 Block를 採取하여 fibril 傾斜角 僗定用 供試片으로 使用하였다.

### 2.2 Fibril 傾斜角의 測定

木材의 細胞壁을 構成하고 있는 micro fibril을 光學顯微鏡으로 直接 觀察할수는 없으나 우리는 間接의 方法으로 micro fibril의 配列을 推定할수는 있다. 即 ① 細胞壁을 가볍게 脱 lignin 处理할때 出

現하는 條線을 測定하는 方法 ② 針葉樹材의 晚材部 仮導管이나 纖維壁에 보이는 裂口를 測定하는 方法 ③ 仮導管이나 纖維의 膜孔의 孔口(pit aperture)中에서 長橢圓形으로 나타나는 孔口의 長徑의 方法을 測定하는 方法 ④ 軟腐朽菌의 培養에 依해서 만들어지는 腐朽穿孔의 方向을 測定하는 方法 ⑤ 偏光顯微鏡을 利用하여 消光角을 測定하는 方法等에 依하여 fibril의 傾斜角을 測定할수 있다.

또한 最近에는 電子顯微鏡에 依한 超薄切片法 reperica 法等의 試料作製法을 使用 直接 觀察할수 있게 되었다.

그러나 本研究에서는 細胞壁을 脱 lignin 处理하여 fibril間隙에 耗드의 針狀結晶을 折出시켜 光學顯微鏡으로 測定하는 耗法에 依하여 Fibril 傾斜角을 測定하였다.

### 1) 切片의 作成

上記와 같은 方法으로 만들어진 試片을 數日間 浸水하여 鮑水狀態로 만들고 물로 淨하여充分히 軟化시킨 다음 20~24μ程度의 触面切片을 만들었다. 다음 60% HNO<sub>3</sub> 100cc에 塩素酸加里(KClO<sub>3</sub>) 2g을 넣은 混合液 15cc에 물 7cc를 첨가한 Schurze液을 만들어 여기에 切片을 10~20分間 处理

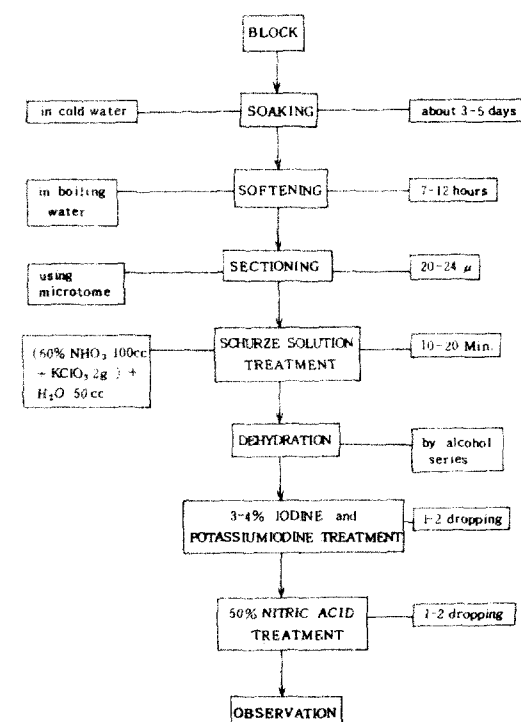


Fig. 1 Procedures of sample treatment.

한 다음 alcohol series로 脱水하였다.

이와같이 하여 完全 脱水된 切片을 Slide glass 위에 올려놓고 3~4% 요드·요드칼륨 水溶液을 1~2 방울 滴下한 후 50% 질산( $HNO_3$ )을 한방울 떨어뜨려 요드의 針狀結晶을 形成시켰다.

여기서 요드·요드칼륨 水溶液은 蒸溜水 100cc에 3~4% 漢度( $I_2$ ) 3g과 요드칼륨(KI) 4g을 混合하여 調製하였다.

## 2) 角의 测定

以上과 같은 方法으로 处理된 切片에는 micro fibril의 間隙에 요드의 針狀結晶이 析出되므로 이것을 光學顯微鏡으로 檢鏡하면서 projector에 連結하여 仮導管의 軸과 fibril의 走向과의 角度를 测定하여 fibril의 傾斜角으로 算定하였다.

Table 1. Statistical values of fibril angle on all samples in stem (degree)

Number of measurements	Mean	Max.	Min.	Standard deviation	Coefficient of variation	Mode
Total	2,370	17.6	40.0	6.87	0.39	15
Early wood	1,210	19.8	40.0	7.30	0.37	19
Late wood	1,160	15.3	37.0	5.54	0.36	15

이와 같은 結果는 Manwiller<sup>12)</sup>가 spruce pine을 偏光顯微鏡으로 觀察하여 報告한 全體平均  $35.9^\circ$ 보다, Memillin, C.W.가 偏光顯微鏡으로 觀察한 loblolly pine(早材  $33.4^\circ$ , 晚材  $26.9^\circ$ ) 보다는 比較的 적은 값이며, 한편 渡辺<sup>24)</sup>가 삼나무에 對하여 요드의 結晶을 形成시킨 测定한 結果(삼나무의 早晩材 平均  $17\sim20^\circ$ )와는 비슷한 값을 나타내고 있다.

다음은 正常材 圓板 全體에 對하여 fibril 傾斜角의 出現度數 分布曲線을 整理한 結果는 Fig. 2과 같다.

이 結果에 依하면 fibril 傾斜角의 全分散域은  $3\sim39^\circ$ 의 寬은範圍에 達하고 있으며, 그 mode는  $15^\circ$ 程度로서 正規分布를 나타내고 있는 것으로 생각되고 있다.

또한, fibril 傾斜角이  $33^\circ$ 以上의 것은 總測定值의 約 1.3%以下에 不過하며 더욱이, 이範圍의 것은 木材의 欠點이 있을 때 测定된 것이 있으며, 또  $5^\circ$ 以下의 것은 總測定值의 1.3%以下에 不過하여 이것 또한, 欠點에 依하여 出現하였던가 紋孔周囲 或은, 放射組織周囲의 仮導管에서 测定된 것으로 생각되므로 正常 狀態에서의 fibril 傾斜角의 分散은

以上의 関係를 그림으로 나타내면 Fig. 1과 같다.

## 3. 結果 및 考察

### 3.1 FIBRIL 傾斜角의 出現狀態

正常材 各 圓板에서 测定된 fibril 傾斜角 测定值을 集計하여 各 圓板에 나타나는 fibril 傾斜角의 出現數를 求하고 統計的으로 여러 數值을 計算한 結果는 Table 1과 같다. 이 結果에 依하면 樹幹內全供試木 圓板의 平均 fibril 傾斜角은 約  $17.6^\circ$  程度이며 早材의 平均 fibril 傾斜角은 約  $19.8^\circ$ , 晚材는  $15.3^\circ$ 로서 早材部의 傾斜角이 약간 크게 나타나고 있다.

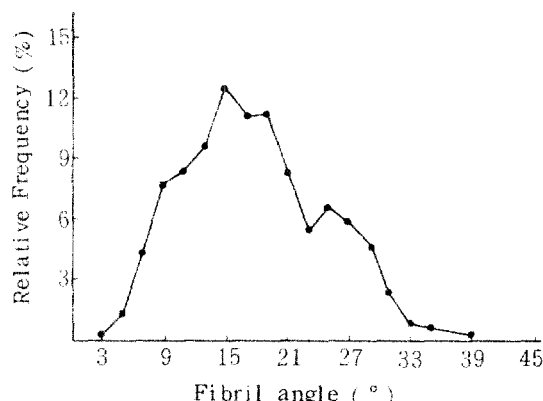


Fig. 2 Frequency diagram of average fibril angle in stem

$5\sim33^\circ$ 로 생각되고 있다.

以上의 fibril 傾斜角의 出現 度數分布曲線을 早晩材別로 分割하여 整理한 結果는 Fig. 3과 같다. 이 結果를 觀察하면 早晩材部의 最頻率은 각각  $19^\circ$ ,  $15^\circ$  程度이며 晚材部는 正規分布를 나타내고 있으나 早材部는 약간 右偏되는 것으로 觀察되고 있다.

또한, fibril 傾斜角 出現 度數分布曲線을 早晩材

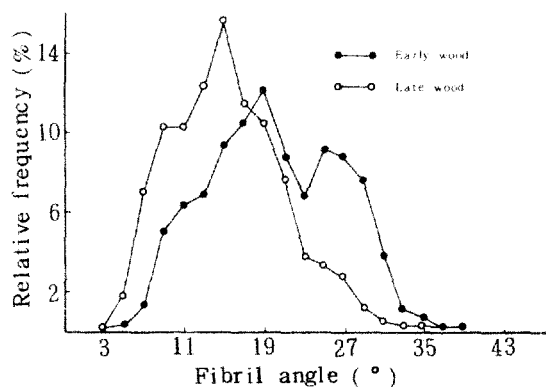


Fig. 3 Difference of frequency diagram of fibril angle between early and late wood in stem

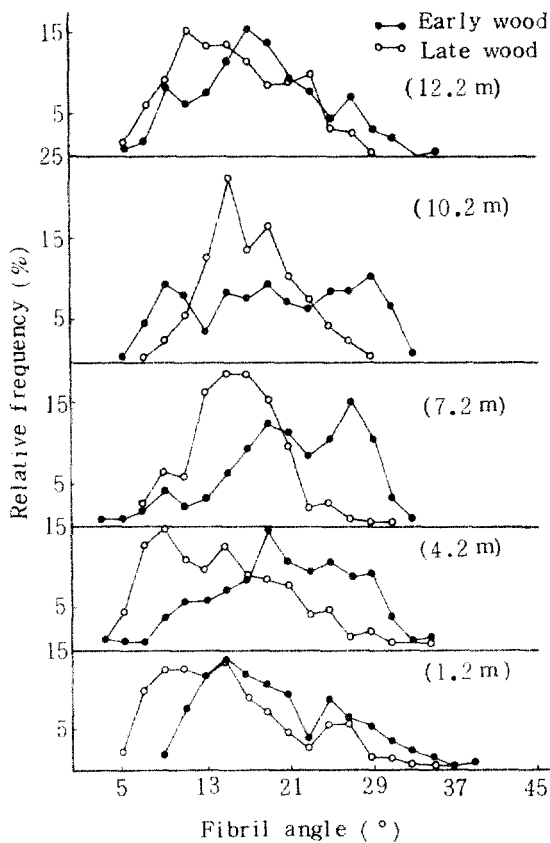


Fig. 4 Difference of frequency diagram of fibril angle between early and late wood at each height above ground

別, 地上高別로 나타낸結果 Fig. 4 와 같다. 이것에  
의하면 地上高가 增加함에 따라 그 出現範圍가 약  
간 減少되는 것으로 생각되고 있다.

### 3.2 水平方向의 變異

fibril 傾斜角의 水平 方向의 變動(髓心에서 樹皮 方向)을 綜合한 結果는 Fig. 5 와 같다. 이 結果에 依  
하면 早晚材部 모두 髓心部에서 fibril 傾斜角이 가  
장 크며 樹皮方向으로 向함에 따라 그 傾斜角은 減進的으로 減少되고 있다.

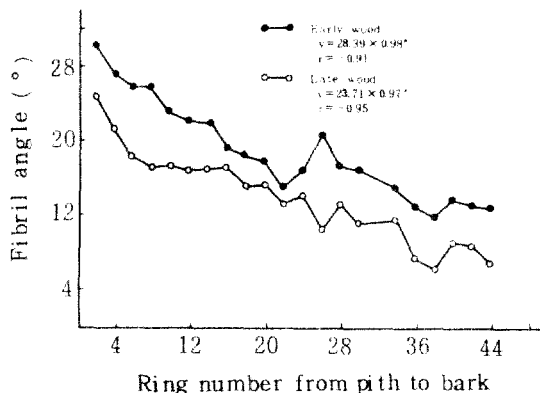


Fig. 5 Variation of average fibril angle from pith to bark on all samples in stem

더욱이, 髓心에서 樹皮로 向하여 약 20 年輪까지는 그 減少가 比較的 急進的인대 對하여 20年輪 以  
後에서 부터는 多少 減進的이며 약간 安定된 狀態를  
나타내고 있는 것으로 觀察되고 있다.

이와 같은 事實로 미루어 보아 fibril 傾斜角의 水平  
方向의 變動에 依하여 成熟材와 未成熟材를 區分할  
수가 있고, 그 境界가 되는 部分은 髓心에서 約 20  
年輪되는 곳으로 생각되고 있다.

이러한 fibril 傾斜角의 水平方向의 變動에 對하여  
는 많은 研究 結果가 있다.

即, McGinnes<sup>13)</sup>는 shortleaf pine 을 偏光顯微鏡  
으로 觀察하였으며 Wanggaard,<sup>20)</sup> Dadswen 과 Nicho-  
ll,<sup>21)</sup> Hiller,<sup>22)</sup> 渡辺<sup>23)</sup> 等이 黃드法에 의해서 測定한  
結果 等은 本 研究 結果와 거의 모두 一致하고 있었다.

### 3.3 垂直方向의 變異

다음 fibril 傾斜角은 樹幹의 地上高가 높아짐에  
따라 어떻게 變화하는가를 알기 위하여 垂直方向의  
變動을 綜合 整理한 結果는 Fig. 6, 7 과 같다.

Fig. 6에 依하면前述한 바와 같이 髓心에서 樹皮  
方向으로 向하여 그 傾斜角은 減少되고 있으나, 地  
上高가 낮은 部位에서는 比較的 減進의이지만 地上  
高가 增加함에 따라 그 減少되는 程度가 점차 急進의  
으로 移行됨을 觀察할 수가 있다. 이와 같은 事實은  
地上高가 높은 곳에서는 未成熟材가 많이 存在하기

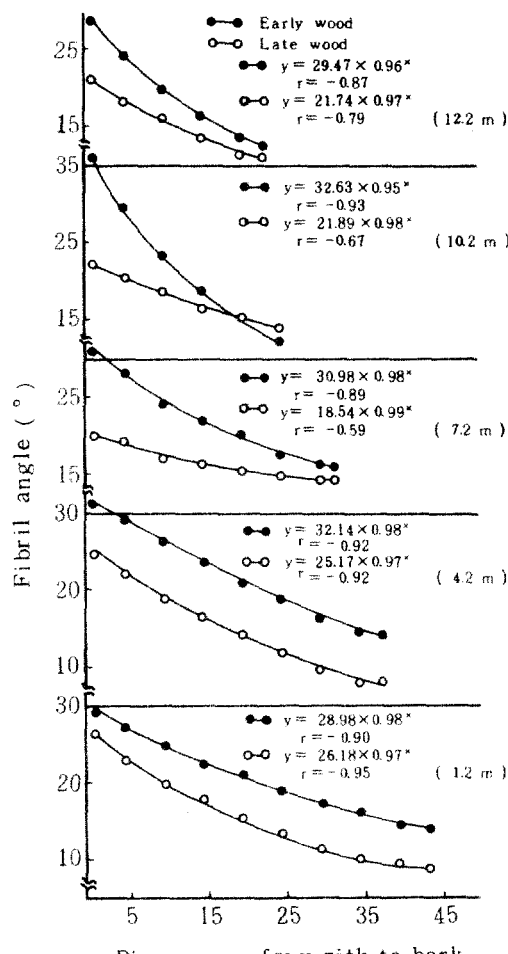


Fig. 6 Difference of fibril angle between early and late wood at each height above ground

예문인 것으로思料되고 있다.

또한, Fig. 7에 依하면 體心에 가까운部分에서 地上高가增加함에 따라 fibril 傾斜角은漸次增加되고 있으나 樹皮에 가까운部分에서는 地上高에 依한 fibril 傾斜角의 变動은 거의 없는 것으로 보여지고 있다.

以上과 같이 fibril 傾斜角의 垂直方向의 变動은 水平方向의 变動만큼 明確히 出現되지 못하고 있는 것을 볼 수 있으며 이에 대한 研究도多少 있다.

即, Hiller<sup>6)</sup>는 紋孔口法에 依해서 loblolly pine을 同年에 形成된 木部의 fibril 傾斜角에 關한 研究에 의하면 地上高가 낮은 部位에서 보다 地上高가 높은 部位에서 더 크다고 報告한 바 있으며, 塩倉과 渡辺<sup>23)</sup>는 落葉松의 同年에 形成된 木部

의 fibril 傾斜角에 關하여 調査한 結果에서도 上記와 같은 傾向을 나타내고 있는 것으로 報告하고 있다. 또한, 이들은 同樹種의 體心으로 부터 5번재 年輪(即, 體心으로 부터 同一거리)에서 地上高別 变異를 調査한 結果 地上高가 낮은 쪽이 약간 큰값을 나타낸다고 報告한 바 있다.

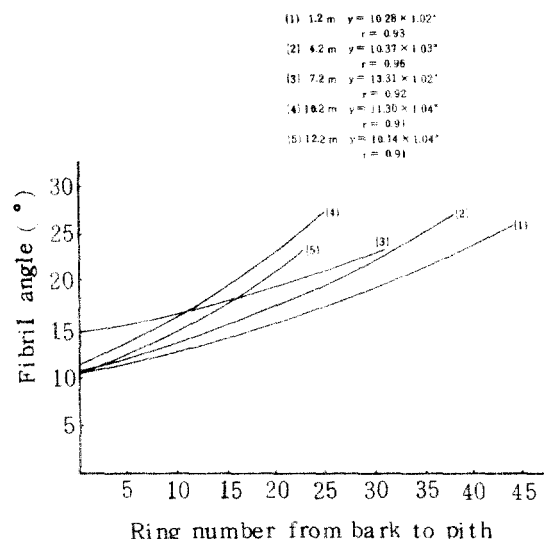


Fig. 7 Variation of fibril angle from bark to pith on all samples in stem

#### 4. 結論

우리 나라의 固有 樹種이고 經濟的 樹種의 하나인 잣나무 造林木에 關한 材質을 評價하고 木材의合理的利用을 도모하기 위한 基礎資料를 얻기 위하여 本大學 演習林에서 生育한 잣나무 造林木을 伐採하여 요드法으로 正常材 樹幹內에서의 micro fibril의 变動에 關하여 研究하였으며 그 結果를 要約하면 다음과 같다.

1. 正常材 樹幹에서의 micro fibril 傾斜角은 平均 17.6°였다.

2. 木材部에서의 micro fibril 傾斜角은 平均 19.8°였다.

3. 晚材部에서의 microfibril 傾斜角은 平均 15.3°였다.

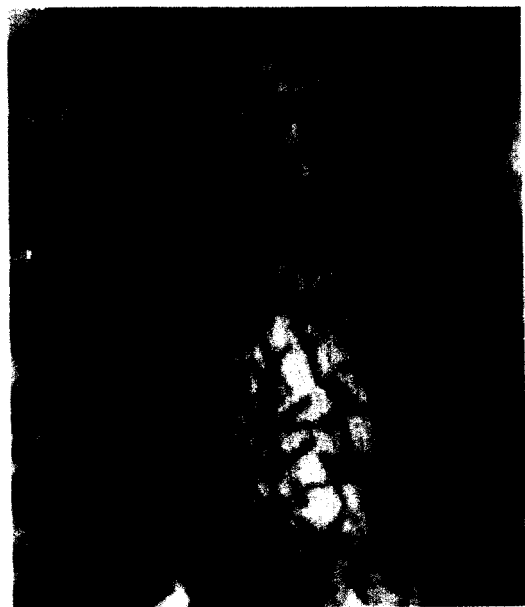
4. fibril 傾斜角의 水平方向의 变動 即, 體心에서 樹皮方向으로 年輪이增加함에 따라 樹幹部에서는 점차減少되고 있다.

5. fibril 傾斜角은 地上高가增加함에 따라 점차增加되는 傾向이 있다.

## 参考文献

1. Bailey, I.W., and Vestal, M.R. (1937): The orientation of cellulose in the secondary wall of tracheary cells. I. Arnold arboretum 18:185-195.
2. Dadswell, H.E., and Nicholls, I.W.P. (1959): Assessment of wood qualities for tree breeding. I. CSIRO Div. Forest prod. Tech. Pap. 4. 16pp.
3. Dunning, C.E. (1968): Cell-wall morphology of longleaf pine latewood, Wood Sci. 1:65-6.
4. Echols, R.M. (1955): Linea relation of fibrillar angle to tracheid length and genetic control of tracheid length in slash pine. Trop. Woods, 102, pp. 11-22.
5. Hermans, P.H. (1949): Physics and chemistry of cellulose fibers. 534 pp. N.Y.: Elsevier Press.
6. Hiller, C.H. (1954): Variation in fibril angles in slash pine. USDA Forest Serv. Forest Prod. Lab. Rep. 2003, 6 pp.
7. Hiller, C.H. (1964): Correlation of fibril angle with wall thickness of tracheids in summerwood of slash and loblolly pine. TAPPI.47:125-128.
8. Hiller, C.H. (1964): Estimating size of the fibril angle in latewood tracheids of slash pine. J. Forest. 62:249-251.
9. Hiller, C.H., and Brown, R.S. (1967): Comparison of dimensions and fibril angles of loblolly pine tracheids formed in wet or dry growing seasons. Amer. J. Bot. 54:453-460.
10. Jackson, L.W.R., and Morse, W.E. (1965): Variation in fibril angle of slash and loblolly pine. GA. Forest. Res. Counc. Res. Pap. 34. 5pp.
11. Barrett, J.D., Schniewind, A.P., and Taylor, R.L. (1972): Theoretical shrinkage model for wood cell walls, Wood Sci. Vol. 4. No. 3.
12. Manwiller, F.G. (1966): Southern pine cell walls and shrinkage. South Lumberman, 213(1656): 184-186.
13. McGrath, E.A. (1963): Growth-quality evaluation of Missouri-grown shortleaf pine (*Pinus echinata* Mill) Mo. Agr. Exp. Sta. Res. Bull. 841, 69pp.
14. McMillin, C.W. (1968): Morphological characteristics of loblolly pine wood as related to specific gravity, growth rate, and distance from the pith. Wood Sci. And Technol. 2: 166-176.
15. Pillow, M.Y., and Bray, M.W. (1935): Properties and sulphate pulping characteristics of compression wood. Pap. Trade J. 101(26):31-34.
16. Pillow, M.Y., Chidester, G.H., and Bray, M.W. (1941): Effect of wood structure on properties of sulphate and sulphite pulps from loblolly pine. Southern pulp and Pap. J. 4(7):6-12.
17. Pillow, M.Y., Terrell, B.Z., and Hiller, C.H. (1953): Patterns of variation in fibril angles in loblolly pine. USDA Forest Serv. Forest Prod. Lab. Rep. D 1935, 31pp.
18. Preston, R.D. (1952): The molecular architecture of plant cell walls. 211pp. London: Chapman and Hall Ltd.
19. Saiki, H. (1970): Influence of wood structure on radial variations in some physical properties within one annular ring of conifers. Memories College Agri. Kyoto Univ. No. 96, 47.
20. Wangaard, F.F. (1950): The mechanical properties of wood. Tohan Wiley and Sons. Inc. New York.
21. 塩倉 高義・渡辺 治人 (1973) : カラマツ林の品質に関する基礎的研究 (第3報) 東京農業大学 農學集報 Vol. 17 No. 1. 81 - 85.
22. 太田 貞明・渡辺 治人・松木 効・堤壽一 (1968) : 未成熟材の力学的特性に関する研究 (スギ樹幹内の未成熟材の動的ヤング率とファイブル傾角) 九州大學 演習林集報 第22號, pp. 105 - 116.
23. 塩倉 高義・渡辺 治人 (1973) : カラマツ材の品質に関する基礎的研究 (第4報) 東京農業大学 農學集報 Vol. 17 No. 1. 87 - 94.
24. 渡辺治人 (1967) : 樹幹丸太の特性, 九州大學 農學部 木材理學教室 研究資料 No. 67-1.
25. 李元用, 權震憲 (1980) : 잣나무 fibril 傾斜角의 變異에 關한 研究, 韓國林學會誌, 第 46 號, pp. 24-44.

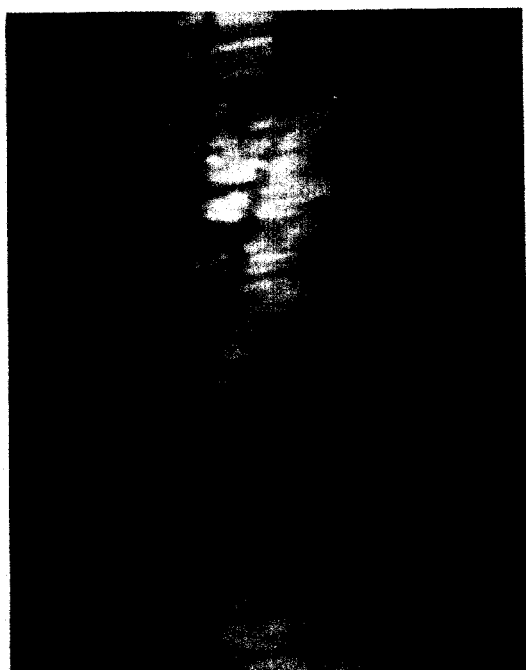
26. Kerr, T., and Bailey, I.W. (1934): The cambium and its derivative tissues. No. X. Structure, optical properties and chemical composition of the so-called middle lamella. J. Arnold Arboretum, 15, 327.
27. Wardrop, A.B., and Harada, H. (1965): The Formation and struture of the cell wall in fibers and tracheids. J. Exp. Bot. 16, 356.



**Photo 1.** Fibril angle revealed by iodine crystal at late wood ( $\times 800$ )



**Photo 2.** Fibril angle revealed by iodine crystal at early wood ( $\times 1500$ )



**Photo 3.** Fibril angle revealed iodine crystal at late wood ( $\times 600$ )